

EΛ8VY



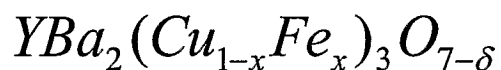
دانشگاه صنعتی اصفهان

۱۳۸۲ / ۷ / ۱۰

دانشکده فیزیک

دانشگاه صنعتی اصفهان  
دانشکده فیزیک

بررسی خواص ابررساناوی و ساختاری ابررساناوی YBCO با جایگزینی آهن



پایان نامه کارشناسی ارشد فیزیک

علی مهدی فر

۴۸۵۷۶

استاد راهنما

دکتر مهدی صفا

اسفند ۱۳۸۱

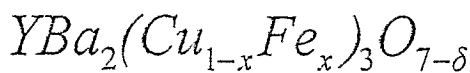


دانشگاه صنعتی اصفهان

دانشکده فیزیک

پایان نامه کارشناسی ارشد فیزیک آقای علی مهدی فر  
تحت عنوان

بررسی خواص ابررسانایی و ساختاری ابررسانای  $YBCO$  با جایگزینی آهن



در تاریخ ۱۳۸۱/۱۲/۲۰ توسط کمیته تخصصی زیر مورد بررسی و تصویب نهایی قرار گرفت.

دکتر مهدی صفا

  
دکتر هادی سلامی

دکتر جمشید عمیتبان

  
دکتر هادی اکبرزاده

دکتر جمشید عمیتبان

  
دکتر منصور حقیقی

۱- استاد راهنمای پایان نامه

۲- استاد مشاور پایان نامه

۳- استاد داور

۴- استاد داور

سرپرزمیت تحصیلات تکمیلی دانشکده

## تشکر و قدردانی

خدايا ! سپاس تو را که لیاقت تحصیل علم به من ارزانی داشتی و مرا در این مسیر هدایت و یاری وساندی. معبودا ! از تو خواهان کمک در پاسداری از این امانت و بهره‌گیری از آن در جهت خدمت به بشریت هستم.

از استاد گرامی جناب آقای دکتر مهدی صفا به عنوان استاد راهنمای پایان نامه به خاطر زحمات بی دریغشان سپاسگذارم.

از آقای دکتر هادی سلامتی که به عنوان استاد مشاور زحمت مطالعه و بازخوانی پایان نامه را به عهده گرفتند، از آقای دکتر هادی اکبرزاده به عنوان استاد داور و از آقای دکتر جمشید عمیقیان به عنوان استاد مدعو که زحمت بازخوانی و شرکت در جلسه دفاعیه را داشته‌اند، کمال تشکر را دارم.

از دوستان عزیزم آقایان پرویز کاملی، حمیدرضا رهنما، علی نجاري، حمید یوسفی، ناصر محمدی و حسین احمدوند همچنین از خانم‌ها مهین اشرفی و هلیا جلیلی که در مراحل مختلف انجام این پایان نامه از لطف و یاری آنها بهره‌مند گردیدم، تشکر می‌نمایم.

همچنین از کلیه کارکنان دانشکده فیزیک نهایت تشکر را دارم.

کلیه حقوق مادی مترتب بر نتایج مطالعات،  
ابتكارات و نوآوریهای ناشی از تحقیق موضوع  
این پایان نامه (رساله) متعلق به دانشگاه صنعتی  
اصفهان است.

تقدیم به:

عزیز دل فاطمه (س)، یوسف زهرا، مهدی صاحب‌الزمان (عج)

و

به روح پاک پدرم

و

مادر عزیزم

و

خانواده‌ام

## فهرست مطالب

<u>صفحه</u>	<u>عنوان</u>
شش	فهرست مطالب
۱	چکیده
۲	پیش‌گفتار
۳	مروری بر تاریخچه ابررسانایی
۴	فصل اول: ویژگی‌های ابررساناهای
۶	مقدمه
۶	۱-۱- مقاومت ابررساناهای
۷	۱-۲- دمای گذار ابررساناهای
۸	۱-۳- خاصیت دیامغناطیسی
۹	۱-۴- مدل دو سیال
۹	۱-۵- نظریه گینزبرگ - لاندائو
۱۰	۱-۶- نظریه BCS
۱۲	۱-۷- عمق نفوذ مغناطیسی
۱۴	۱-۸- طول همدوسی
۱۵	۱-۹- مشخصه‌های مواد ابررسانا
۱۵	۱-۹-۱- دمای بحرانی ( $T_c$ )
۱۵	۱-۹-۲- جریان بحرانی ( $I_c$ )
۱۵	۱-۹-۳- میدان مغناطیسی بحرانی ( $H_c$ )
۱۶	۱-۱۰- ابررساناهای نوع اول
۱۸	۱-۱۱- ابررساناهای نوع دوم
۱۹	۱-۱۱-۱- جریانهای بحرانی در ابررساناهای نوع دوم
۲۱	۱-۱۱-۲- جریانهای بحرانی در ابررساناهای سخت
۲۱	۱-۱۱-۳- مراکز میخکوبی برای لوله‌های شار
۲۴	۱-۱۲- ابررساناهای اکسیدی جدید
۲۵	۱-۱۲-۱- میدانهای بحرانی برای اکسیدهای جدید

۲-۱۲-۱- جریانهای بحرانی برای اکسیدهای جدید ..... ۲۰

فصل دوم: بررسی ساختار بلوری  $\text{YBa}_2\text{Cu}_3\text{O}_{7-\delta}$

اکسیدهای ابررسانای جدید ..... ۲۷	.....
۱-۱- ساختار بلور $\text{YBa}_2\text{Cu}_3\text{O}_{7-\delta}$ ..... ۲۸	.....
۲-۲- تأثیر اکسیژن بر خواص ابررسانایی YBCO ..... ۳۰	.....
۳-۲- بررسی اثر آلایش در ابررسانایی YBCO ..... ۳۱	.....
۴-۲- بررسی اثر آلایش بر ساختار فاز ۱۲۳ ..... ۳۲	.....

فصل سوم: مشخصه‌های نمونه‌های حجمی

مقدمه ..... ۳۴	.....
۱-۳- پراش پرتو X (XRD) ..... ۳۴	.....
۱-۱-۳- ویژگیهای پرتو X ..... ۳۵	.....
۲-۱-۳- جهت‌های باریکه‌های پراشیده ..... ۳۵	.....
۳-۱-۳- جهت‌های پراش ..... ۳۷	.....
۳-۴- روش‌های پراش ..... ۳۷	.....
۳-۵- روش پودری ..... ۳۸	.....
۶-۱-۳- شدت باریکه‌های پراشیده ..... ۴۰	.....
۷-۱-۳- پراکندگی به وسیله یک الکترون ..... ۴۰	.....
۸-۱-۳- پراکندگی بوسیله یک اتم ..... ۴۱	.....
۹-۱-۳- پراکندگی از یاخته بسیط ..... ۴۲	.....
۱۰-۱-۳- موارد استفاده در روش پودری ..... ۴۳	.....
۱۱-۱-۳- فاکتور چندگانه ..... ۴۳	.....
۱۲-۱-۳- فاکتور لورنتس ..... ۴۳	.....
۱۳-۱-۳- فاکتور جذب ..... ۴۴	.....
۱۴-۱-۳- فاکتور دما ..... ۴۴	.....
۱۵-۱-۳- تجزیه شیمیایی بوسیله کارتاهای JCPDS ..... ۴۵	.....
۱۶-۱-۳- روش کارتاهای JCPDS ..... ۴۶	.....
۲-۲- ساختار میکروسکوپ الکترونی ..... ۴۸	.....
۲-۱-۲-۳- میکروسکوپ‌های الکترونی رویشی SEM ..... ۴۹	.....

## ۲-۲-۳- میکروسکوپ‌های الکترونی عبوری TEM

۵۱.....	فصل چهارم: روش‌های ساخت نمونه‌های حجمی
۵۲.....	مقدمه
۵۳.....	۴- روش واکنش مستقیم حالت جامد
۵۴.....	۴-۱- توزین پودرهای اولیه
۵۴.....	۴-۲- مخلوط کردن و سایش پودرها
۵۴.....	۴-۳- تکلیس
۵۵.....	۴-۴- پرس کردن نمونه‌ها و ساخت قرص
۵۰.....	۴-۱-۵- کلوخه‌سازی
۵۶.....	۴-۲- روش‌های ذوبی
۵۷.....	۴-۱-۲- روش همبافتی ذوبی (Melt Texture)
۵۸.....	۴-۲-۲- ذوب منطقه‌ای همراه با میدان مغناطیسی
۵۸.....	۴-۲-۳- ذوب منطقه‌ای همراه با دانه‌گذاری (Seeding)
۵۹.....	۴-۳- روش‌های محلول شیمیایی
۵۹.....	۴-۳-۱- روش همرسویی
۶۰.....	۴-۳-۲- روش خشک کردن با یخ زدن
۶۰.....	۴-۳-۳- روش محلول ژله‌ای

## فصل پنجم: ساخت، اندازه‌گیری‌ها و نتایج

۶۲.....	مقدمه
۶۳.....	۵- ساخت نمونه‌ها
۶۳.....	۵-۱- توزین پودرهای اولیه
۶۵.....	۵-۲- مخلوط کردن و سایش پودرها
۶۵.....	۵-۳- تکلیس
۶۶.....	۵-۴- پرس کاری و تهیه قرص
۶۶.....	۵-۵- کلوخه‌سازی
۶۷.....	۵-۲- مشخصه‌یابی توسط پراش پرتوایکس (XRD)
۷۴.....	۵-۳- آزمایش‌های SEM
۸۴.....	۵-۴- اندازه‌گیری پذیرفتاری مغناطیسی متناوب

۸۹.....	۵-۵- اندازه گیری مقاومت الکتریکی
۹۴.....	۶-۶- اندازه گیری چگالی جریان بحرانی
۹۶ .....	<b>نتیجه گیری</b>
۹۷.....	پیشنهادها
۹۸.....	مراجع
۱۰۱.....	چکیده انگلیسی

## چکیده

در این پژوهه، نمونه‌های ابررسانای  $YBa_2(Cu_{1-x}Fe_x)_3O_{7-\delta}$  به ازای  $x=0.00$ ،  $x=0.01$ ،  $x=0.02$ ،  $x=0.03$  و  $x=0.05$  ساخته شده و مورد تحقیق و بررسی قرار گرفته است. روش ساخت نمونه‌ها، روش واکنش حالت جامد شامل مراحل زیر است:

- سه مرحله تکلیس یکسان با دمای نهایی  $950^\circ\text{C}$  درجه سانتی گراد به مدت ۲۴ ساعت و خنک سازی سریع در هوا.
- قرص کردن پودرها با فشار  $150\text{kg/cm}^2$ .
- کلوخه‌سازی با شار اکسیژنی حدود  $60^\circ\text{C}$  حباب در دقیقه که از دمای  $900^\circ\text{C}$  درجه سانتی گراد به هنگام حرارت دهی تا دمای  $300^\circ\text{C}$  درجه سانتی گراد به هنگام خنک سازی ادامه یافت و دمای کلوخه‌سازی  $930^\circ\text{C}$  درجه سانتی گراد و به مدت ۲۴ ساعت بود.

پس از اتمام مراحل ساخت، آنالیزهای XRD، SEM و EDAX و اندازه گیری‌های پذیرفتاری مغناطیسی و مقاومت الکتریکی و چگالی جریان بحرانی بر روی نمونه‌ها انجام پذیرفت. نتایج نشان می‌دهند که:

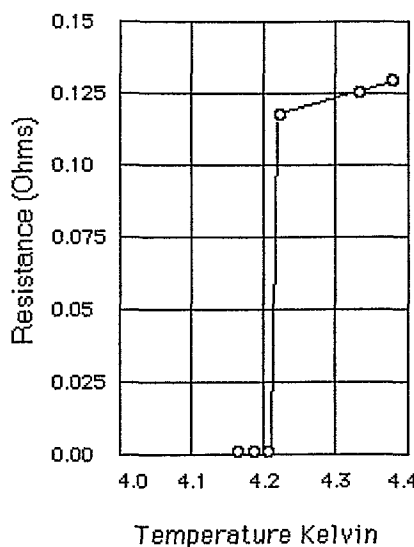
- در همه نمونه‌ها فاز ارتورمیک  $123$  تشکیل شد و فاز آهن به صورت ناخالصی در نمونه‌ها مشاهده نگردید. بنابراین آهن در ترکیب، جایگزین مس شده است.
- با افزایش مقدار آهن در نمونه‌ها، ساختار نمونه‌ها به سمت تراگونال میل پیدا می‌کند.
- با افزایش مقدار آهن در نمونه‌ها، دمای گذار کاهش پیدا می‌کند.
- جریان بحرانی نمونه با  $x=0.01$  از نمونه خالص کمتر است.

## پیش‌گفتار

### مروزی بر تاریخچه کشف ابررسانایی

در سال ۱۹۰۸ هایک کمرلینگ اونس<sup>۱</sup> موفق به میان هلیوم گردید. با توجه به نقطه جوش هلیوم مایع که ۲/۴ درجه کلوین بود، دسترسی به گستره جدیدی از دماهای پایین امکان‌پذیر شد. قبل از هر چیز اونس شروع به تحقیق بر روی مقاومت الکتریکی فلزات نمود. وی در سال ۱۹۱۱ مشاهده نمود که اگر نمونه‌هایی از فلزات و آلیاژها تا دمای محدوده هلیوم مایع، سرد شوند، مقاومت ویژه الکتریکی آنها صفر می‌شود. این نمونه‌ها در یک دمای بحرانی،  $T_c$ ، تحت یک گذار فاز از حالتی با مقاومت معمولی به حالت ابررسانایی می‌روند. اونس این پدیده را ابتدا در جیوه کشف نمود[۱]. شکل (۱) منحنی تغییر مقاومت جیوه بر حسب دما را نشان می‌دهد[۲].

<sup>۱</sup>- Heike Kamerlingh Onnes, 1853-1926.



شکل(۱) نمودار مقاومت الکتریکی جیوه بر حسب دما

تاکنون بیش از بیست عنصر فلزی در دماهای پایین به ابررسانا تبدیل شده‌اند که بیشترین دمای گذار متعلق به نئویم - Nb - با دمای گذار ۹.۴۶ درجه کلوین است (شکل(۲)). آلیاژها می‌توانند با دمای گذار بالاتری نسبت به فلزات، ابررسانا شوند. بعنوان مثال در سال ۱۹۵۹ آلیاژ  $Nb_3Sn$  در دمای ۱۸ درجه کلوین خاصیت ابررسانا بی پیدا نمود. در سال ۱۹۸۶ مولر<sup>۱</sup> و بدنورز<sup>۲</sup> با ساخت یک پروسکایت لایه‌ای  $La_{2-x}Ba_xCuO_4$  (LBCO) با  $x=0.15$  توانستند به دمای گذار ۳۵ درجه کلوین دست یابند [۳]. اولین ابررسانا دمای بالا به حساب می‌آید. رسیدن به این دمای گذار که بیشتر از دمای جوش هیدروژن مایع یعنی ۲۲ درجه کلوین بود، جایزه نوبل سال ۱۹۸۷ را نصیب این دو نفر نمود.

در سال ۱۹۸۷ چو<sup>۳</sup> با همکاری یک گروه تحقیقاتی در دانشگاه هوستان آمریکا موفق به ساخت یک ماده سرامیکی جدید با ترکیب  $Y_1Ba_2Cu_3O_{6.7}$  معروف به ۱۲۳ با دمای بحرانی ۹۲ درجه کلوین شد [۴]. این کشف یک موفقیت بزرگ بود، زیرا نقطه جوش ازت مایع ۷۷ درجه کلوین است که نسبت به هلیوم

<sup>1</sup>- Muller

<sup>2</sup>- Bednorz

<sup>3</sup>- Chu

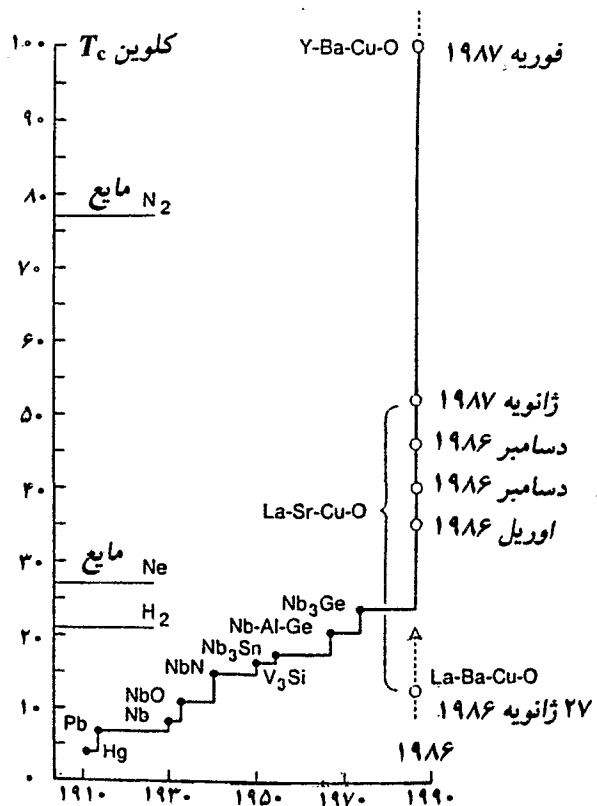
Mat.	Tc	Mat.	Tc
Be	0	Gd*	1.1
Rh	0	Al	1.2
W	0.015	Pa	1.4
Ir	0.1	Th	1.4
Lu	0.1	Re	1.4
Hf	0.1	Tl	2.39
Ru	0.5	In	3.408
Os	0.7	Sn	3.722
Mo	0.92	Hg	4.153
Zr	0.546	Ta	4.47
Cd	0.56	V	5.38
U	0.2	La	6.00
Ti	0.39	Pb	7.193
Zn	0.85	Tc	7.77
Ga	1.083	Nb	9.46

شکل (۲) عناصر ابررسانا به همراه دمای گذار

مایع بسیار ارزانتر و نگاهداری آن آسانتر است. شکل (۳) نمودار دمای گذار بر حسب سال کشف ابررساناهای را نشان می دهد.

در همان سال ترکیبات دیگری از قبیل Bi-Sr-Ca-Cu-O (BSCCO) کشف شد که دارای دو فاز بود که به ترتیب دماهای بحرانی ۸۰ و ۱۱۰ درجه کلوین داشتند [3]. در سال ۱۹۹۳ نیز ترکیب  $HgBa_2Cu_3O_{8+y}$  ساخته شد که دمای بحرانی آن ۱۳۳ درجه کلوین است. تلاش دانشمندان همچنان ادامه پیدا کرده است و

دماهای گذار بالاتری یافت شده و می‌شود. به ابررساناهایی که بعد از کشف مولر و بلنورز ساخته شدند ابررساناهای گرم می‌گویند.



شکل(۳) نمودار دمای گذار بر حسب سال کشف ابررساناهای مختلف